

## 第 9 回演習問題

[1]図 1.1～図 1.3 のような形状の断面があるとする。以下の設問に答えよ。

有効数字は 3 術とする。

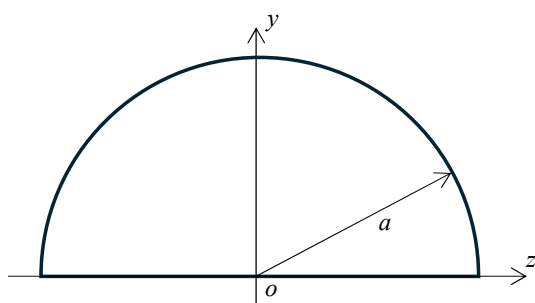


Fig. 1.1 半円断面

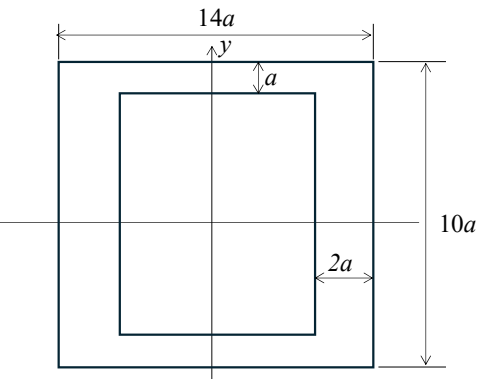


Fig. 1.2 ロの字型形状

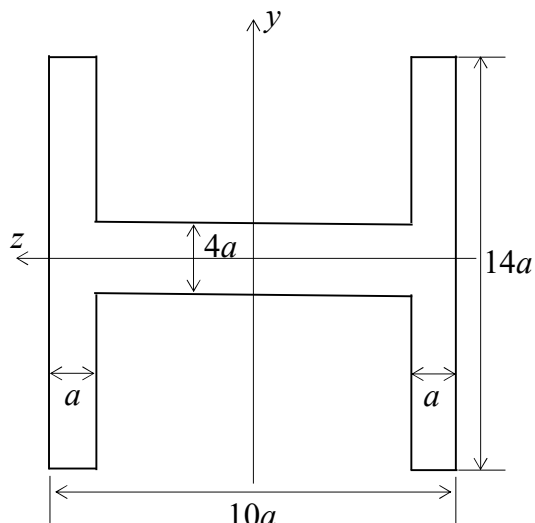


Fig. 1.3 H 字型形状

- (1) 図 1.1 について、 $z$  軸に関する断面一次モーメント  $S_z$  を求めよ
- (2) 図 1.1 について、図心の  $y$  座標である  $y_c$  を求めよ。
- (3) 図 1.2 について、 $z$  軸に関する断面 2 次モーメント  $I_z$  を求めよ
- (4) 図 1.3 について、 $z$  軸に関する断面 2 次モーメント  $I_z$  を求めよ
- (5) 図 1.2 と図 1.3 の断面を持つはりの  $y$  方向に同一の力が作用した場合、どちらの部材が曲がりにくいか答えよ。また、その理由を説明せよ。ただし、両者の縦弾性係数  $E$  は等しいものとする。

(1) 図 1.1について,  $z$  軸に関する断面一次モーメント  $S_z$  を求めよ.

まず, 計算に必要になる微小面積  $dA$  を考える.

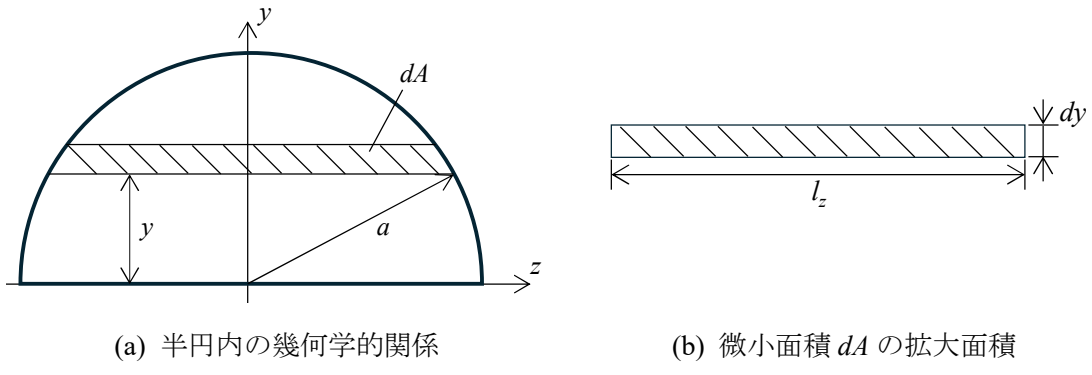


Fig. 1.4  $z$  軸に沿った方向の微小面積

図 1.4(a)より, 長さ  $l_z$  は以下のように表される.

$$l_z = 2\sqrt{a^2 - y^2} \quad (1.1)$$

微小面積  $dA$  は, 図 1.4(b)のように長方形と近似できるため

$$dA = l_z \cdot dy = 2\sqrt{a^2 - y^2} dy \quad (1.2)$$

と表される, よって, 断面一次モーメント  $S_z$  は

$$S_z = \int y dA = \int_0^a 2y \sqrt{a^2 - y^2} dy = 2 \left[ -\frac{(a^2 - y^2)^{3/2}}{3} \right]_0^a = \frac{2a^3}{3} \quad (1.3)$$

のように求められる.

(2) 図 1.1について, 図心の  $y$  座標である  $y_c$  を求めよ.

図心の  $y$  座標である  $y_c$  は, 前問で求めた断面一次モーメントを用いて,

$$y_c = \frac{S_z}{A} = \frac{\frac{2a^3}{3}}{\frac{1}{2}\pi a^2} = \frac{4a}{3\pi} \quad (1.4)$$

このように求められる. ここで  $A$  は, 半円の面積である.

(3) 図 1.2 について、 $z$  軸に関する断面 2 次モーメント  $I_z$  を求めよ

図 1.2 の断面二次モーメントは、図 1.5 のように①の長方形の断面二次モーメント  $I_{z1}$  から、②の長方形の断面二次モーメント  $I_{z2}$  を引くことで求められる。

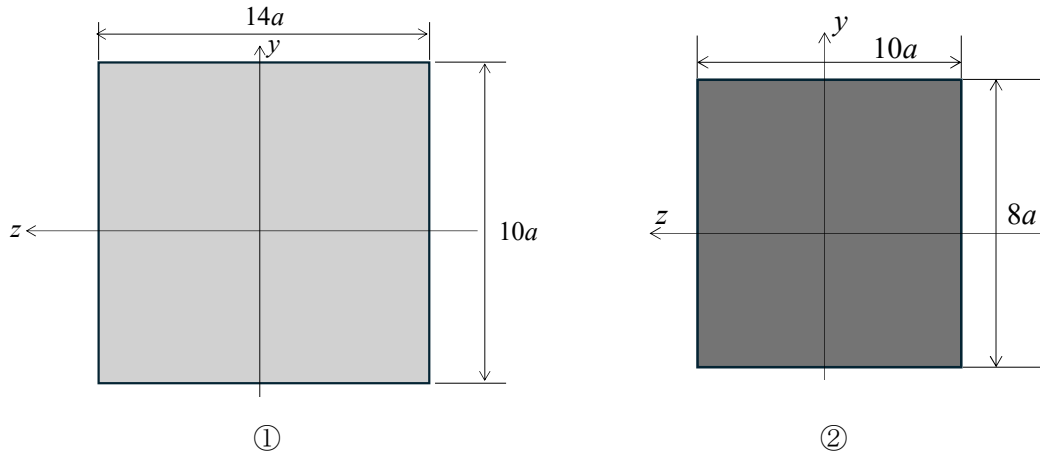


Fig. 1.5 ロ字型形状の断面二次モーメントの算出

それぞれ  $z$  軸に対称であるため、長方形形状の断面二字モーメントの式を用いて、以下のように求められる。

$$I_{z1} = \frac{1}{12} \cdot 14a \cdot (10a)^3 = \frac{3500}{3} a^3 \quad (1.4)$$

$$I_{z2} = \frac{1}{12} \cdot 10a \cdot (8a)^3 = \frac{1280}{3} a^3 \quad (1.5)$$

したがって、求める値は

$$I_z = I_{z1} - I_{z2} = \frac{3500}{3} a^3 - \frac{1280}{3} a^3 = \frac{2220}{3} a^3 = 740a^3 \quad (1.6)$$

となる。

(4) 図 1.3 について、 $z$  軸に関する断面 2 次モーメント  $I_z$  を求めよ

図 1.3 の H 型形状の断面二次モーメントは、図 1.6 のように①の長方形の断面二次モーメント  $I_{z1}$  と二つ分の②の長方形の断面二次モーメント  $I_{z2}$  の和で求められる。

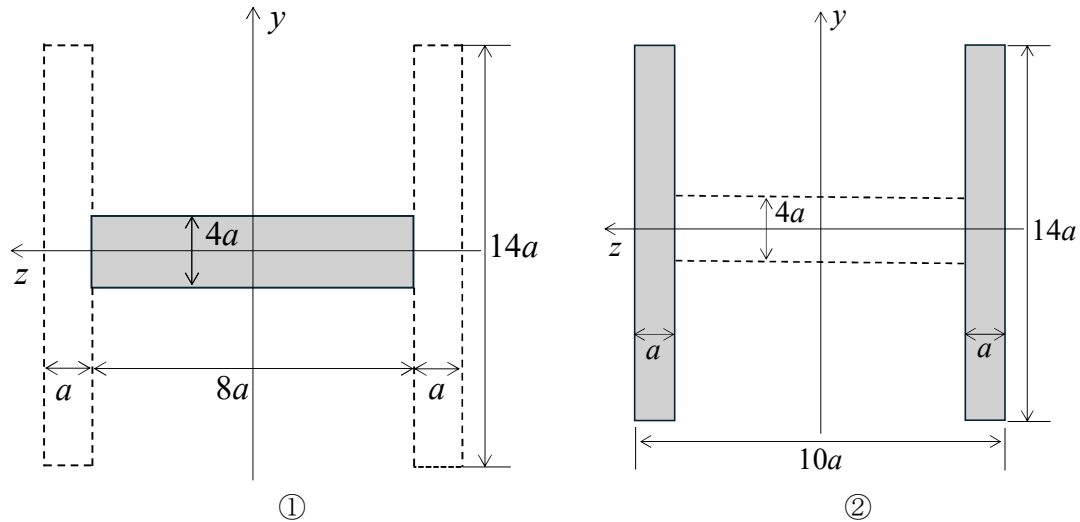


Fig. 1.6 H 型形状の断面二次モーメントの算出

それぞれ  $z$  軸に対称であるため、長方形形状の断面二次モーメントの式を用いて、

$$I_{z1} = \frac{1}{12} \cdot 8a \cdot (4a)^3 = \frac{128}{3}a^3 \quad (1.7)$$

$$I_{z2} = \frac{1}{12} \cdot a \cdot (14a)^3 = \frac{686}{3}a^3 \quad (1.8)$$

したがって、求める断面二次モーメントは

$$I_z = I_{z1} + 2I_{z2} = \frac{128}{3}a^3 + \frac{1372}{3}a^3 = \frac{1884}{3}a^3 = 500a^3 \quad (1.9)$$

となる。

(5) 図 1.2 と図 1.3 の断面を持つはりの  $y$  方向に同一の力が作用した場合、どちらの部材が曲がりにくいか答えよ。また、その理由を説明せよ。ただし、両社の縦弾性係数  $E$  は等しいものとする。

縦弾性係数  $E$  と断面二次モーメント  $I_z$  の積  $EI_z$  は、曲げ剛性と呼ばれ、部材の曲がりにくさを表す。本問において、 $E$  は 2 つの部材で等しいとしているため、曲げ剛性の大小は断面二次モーメントに依存する。このとき断面二次モーメントは、図 1.2 の部材の方が大きいので、図 1.3 の部材より曲がりにくいといえる。下に模範解答を示す。

$$I_{z1.2} = 740a^3 > 500a^3 = I_{z1.3} \quad (1.10)$$

図 1.2

理由：断面二次モーメントが図 1.3 の部材よりも大きいため，曲げ剛性が大きくなるから。

[2] 同一平面内で直角に折れ曲がっている片持ちはりがある。壁と棒の接着部分を O 点、A 点、B 点における断面をそれぞれ断面 A、断面 B とする。それぞれの点で局所座標系を図 2 に示すように定義する。以下の問い合わせよ。ただし、棒にかかる重力は無視できる。始めに、図 2 のように  $0 \leq x_A \leq a$  の範囲において分布荷重  $p$  をかけた場合を考える。

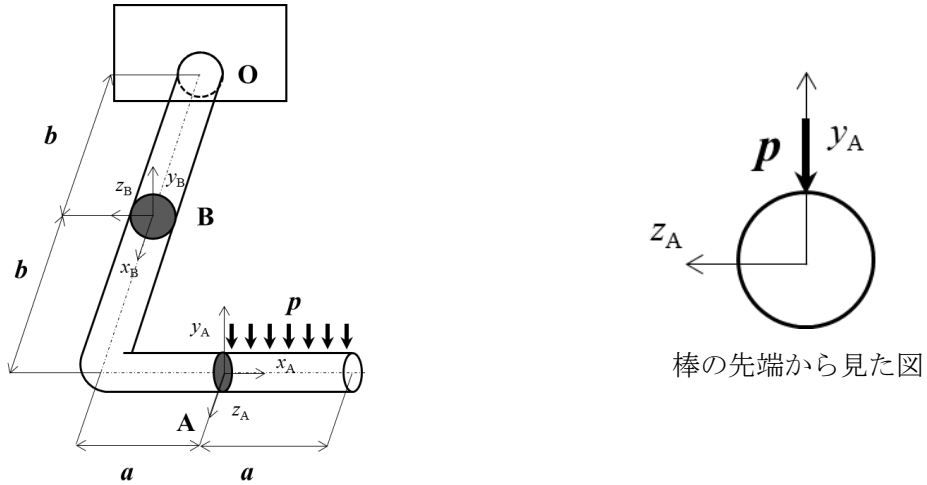


Fig. 2 分布荷重をかけた中実丸棒

- (1) 図 2 の断面 A に作用する断面力( $F_x^A, F_y^A, F_z^A$ )とモーメント( $M_x^A, M_y^A, M_z^A$ )を求めよ。
- (2) 図 2 の断面 B に作用する断面力( $F_x^B, F_y^B, F_z^B$ )とモーメント( $M_x^B, M_y^B, M_z^B$ )を求めよ。

次に、図 2 でかけた荷重に加え、図 3 のように先端に荷重  $R$ 、棒の折れ曲がる点に荷重  $R$  をかけた。

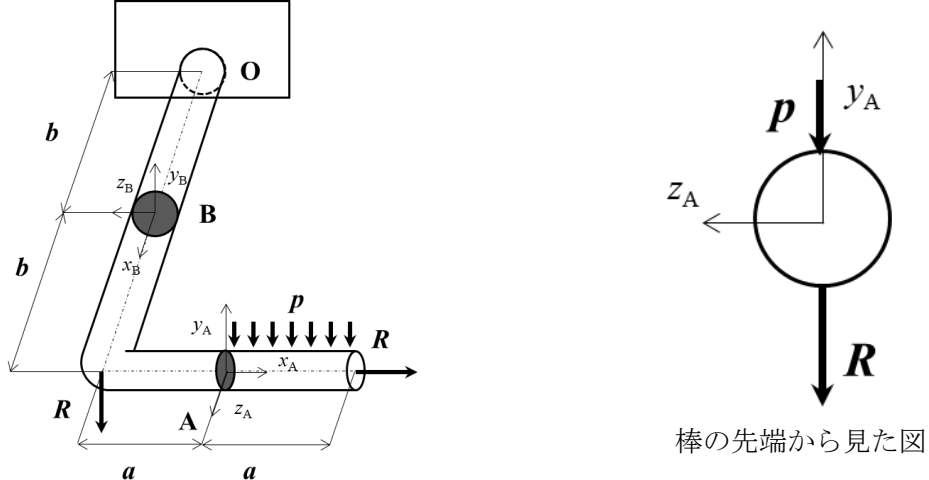


Fig. 3 さらに荷重  $R$  をかけた中実丸棒

- (3) 図 3 の断面 A に作用する断面力( $F_x^A, F_y^A, F_z^A$ )とモーメント( $M_x^A, M_y^A, M_z^A$ )を求めよ。
- (4) 図 3 の断面 B に作用する断面力( $F_x^B, F_y^B, F_z^B$ )とモーメント( $M_x^B, M_y^B, M_z^B$ )を求めよ。

(1) 図 2 の断面 A に作用する断面力( $F_x^A, F_y^A, F_z^A$ )とモーメント( $M_x^A, M_y^A, M_z^A$ )を求めよ。

図 2 について、はじめに自由端に近い断面 A から考える。次の図 2.1 のように A 点において棒を部材①と②に分けて考える。

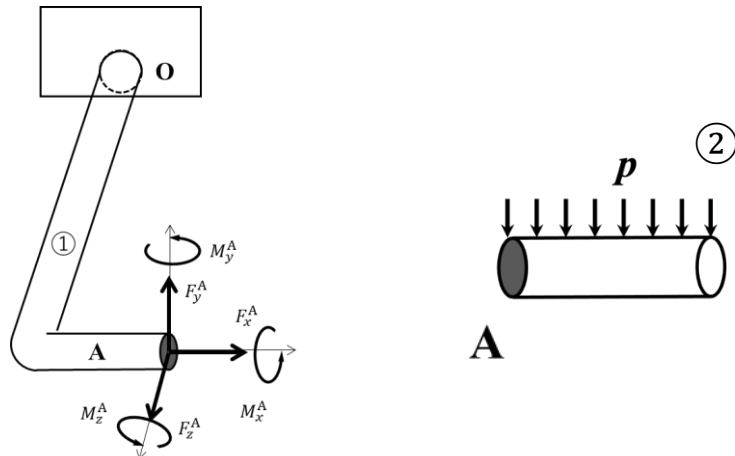


Fig.2.1 図 2 の断面 A で分けた図

また、部材②に関する FBD を図 2.2 に示す。ここで、部材②において断面 A は負の面であるため、断面力とモーメントの正負が反転することに注意する。

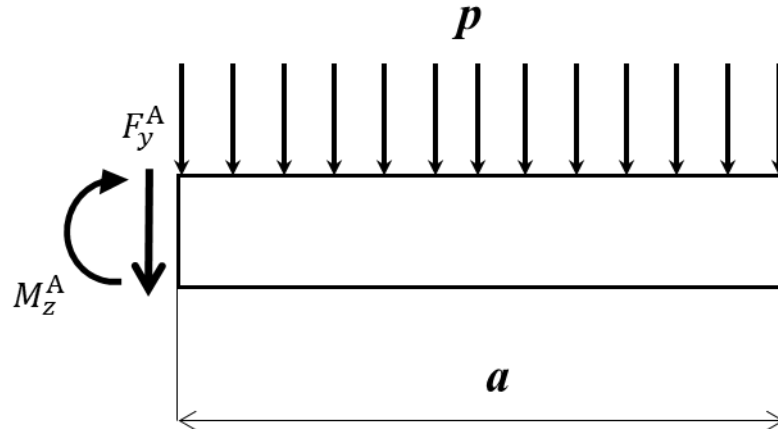


Fig.2.2 部材②の FBD

$x_A$  と  $z_A$  軸方向に外力は作用していないため、断面 A に作用する断面力 $F_x^A, F_z^A$ は

$$F_x^A = F_z^A = 0 \quad (2.1)$$

となる。

また、図 2.2 の部材②に関する FBD から力のつりあいより、断面力 $F_y^A$ は

$$\begin{aligned} F_y^A + pa &= 0 \\ F_y^A &= -pa \end{aligned} \quad (2.2)$$

となる。

$x_A, y_A, z_A$  軸回りのモーメントのつりあいより、断面 A に作用するモーメントは

$$\begin{aligned} M_x^A &= M_y^A = 0 \\ M_z^A + \int_0^a pxdx &= 0 \\ M_z^A &= -\frac{1}{2}pa^2 \end{aligned} \quad (2.3)$$

となる。よって図 2 の断面 A に作用する断面力とモーメントは

$$\begin{aligned} (F_x^A, F_y^A, F_z^A) &= (0, -pa, 0) \\ (M_x^A, M_y^A, M_z^A) &= \left( 0, 0, -\frac{1}{2}pa^2 \right) \end{aligned} \quad (2.4)$$

となる。

(2) 図 2 の断面 B に作用する断面力( $F_x^B, F_y^B, F_z^B$ )とモーメント( $M_x^B, M_y^B, M_z^B$ )を求めよ。

(2) 同様にして、B 点において部材を③と④に分けて考える。

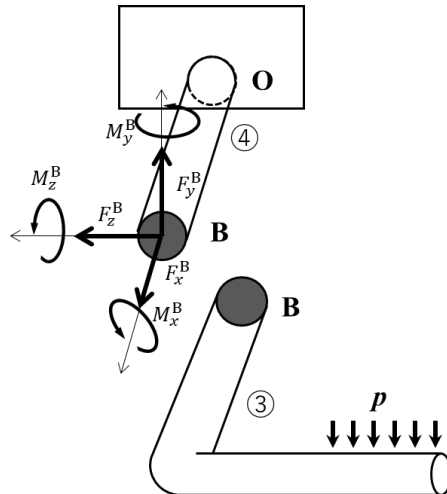


Fig2.3 図 2 の断面 B で分けた図

$x_B, z_B$  軸方向の外力は 0 なので、断面 B に作用する断面力 $F_x^B, F_z^B$ は

$$F_x^B = F_z^B = 0 \quad (2.5)$$

となる。

部材③に関する FBD を図 2.4 に示す。

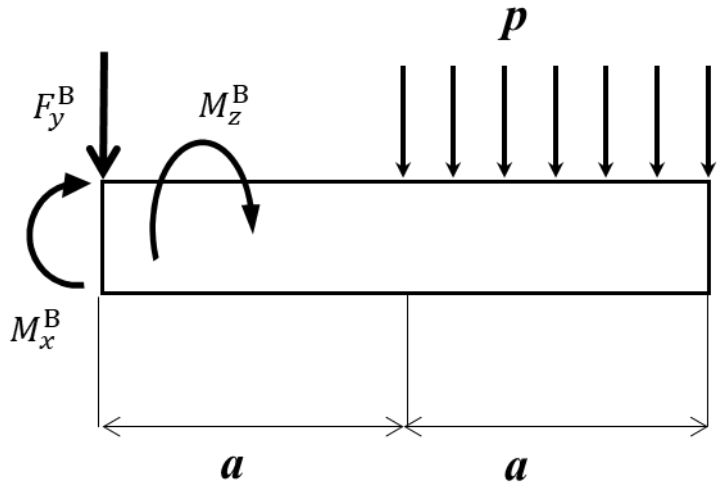


Fig2.4 部材③の FBD

また、部材③の  $y_B$  軸方向の力のつりあいから、断面力  $F_y^B$  は

$$F_y^B = -pa \quad (2.6)$$

$x_B, y_B, z_B$  軸回りのモーメントのつりあいより、断面 B に作用するモーメントは部材③が紙面に対して垂直な方向に長さ  $b$  の奥行きがあることを考慮して、

$$\begin{aligned} M_x^B &= -\int_a^{2a} pxdx = -\frac{3}{2}pa^2 \\ M_y^B &= 0 \\ M_z^B &= -pab \end{aligned} \quad (2.7)$$

よって図 2 の断面 B に作用する断面力とモーメントは

$$\begin{aligned} (F_x^B, F_y^B, F_z^B) &= (0, -pa, 0) \\ (M_x^B, M_y^B, M_z^B) &= \left( -\frac{3}{2}pa^2, 0, -pab \right) \end{aligned} \quad (2.8)$$

となる。

(3) 図 3 の断面 A に作用する断面力 ( $F_x^A, F_y^A, F_z^A$ ) とモーメント ( $M_x^A, M_y^A, M_z^A$ ) を求めよ。

(2) と同様にして、部材①と②に分けて考え、図 3.1 に示す。

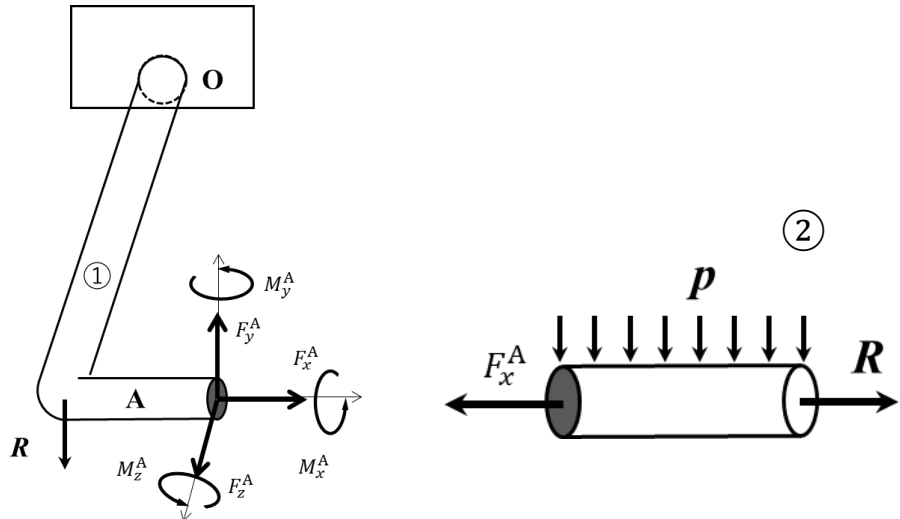


Fig.3.1 図 3 の断面 A で分けた図

また、部材②の FBD を図 3.2 に示す。部材②において断面 A は負の面であるため、断面とモーメントの正負が反転することに注意する。

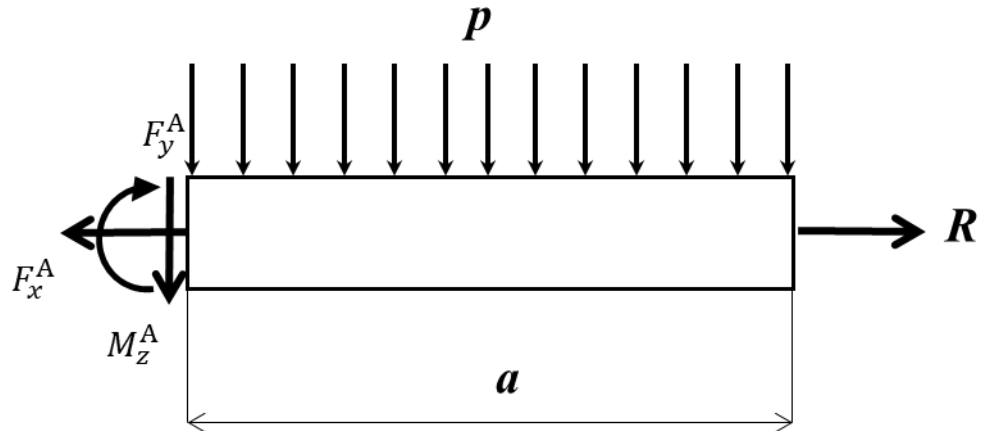


Fig.3.2 部材②の FBD

$z_A$  軸方向の外力は 0 である。また、 $y_A$  軸の力のつり合いより、断面力  $F_y^A, F_z^A$  は

$$\begin{aligned} F_y^A + pa &= 0 \\ F_y^A &= -pa \\ F_z^A &= 0 \end{aligned} \tag{2.9}$$

また、 $x_A$  方向の力のつりあいより、断面力  $F_x^A$  は

$$\begin{aligned} F_x^A - R &= 0 \\ F_x^A &= R \end{aligned} \tag{2.10}$$

$x_A, y_A, z_A$  軸回りのモーメントのつりあいより、断面 A に作用するモーメントは

$$M_x^A = M_y^A = 0$$

$$M_z^A + \int_0^a pxdx = 0 \quad (2.11)$$

$$M_z^A = -\frac{1}{2}pa^2$$

よって図3の断面Aに作用する断面力とモーメントは

$$\begin{aligned} (F_x^A, F_y^A, F_z^A) &= (R, -pa, 0) \\ (M_x^A, M_y^A, M_z^A) &= \left(0, 0, -\frac{1}{2}pa^2\right) \end{aligned} \quad (2.12)$$

となる。

(4) 図3の断面Bに作用する断面力( $F_x^B, F_y^B, F_z^B$ )とモーメント( $M_x^B, M_y^B, M_z^B$ )を求めよ。

(3)と同様に、B点についても部材③と④に分け、図3.3に示す。

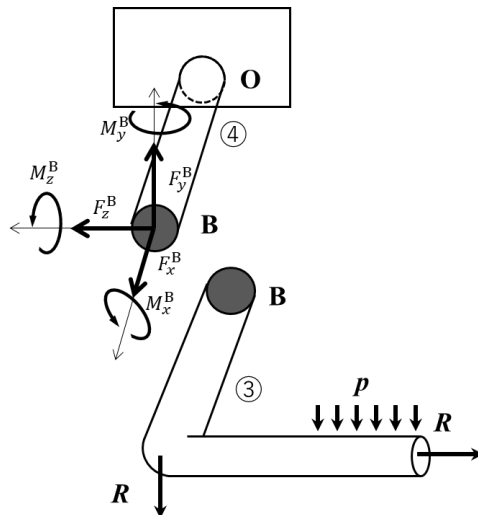


Fig3.3 図3の断面Bで分けた図

また、部材③のFBDを図3.4に示す。部材③において断面Aは負の面であるため、断面とモーメントの正負が反転することに注意する。

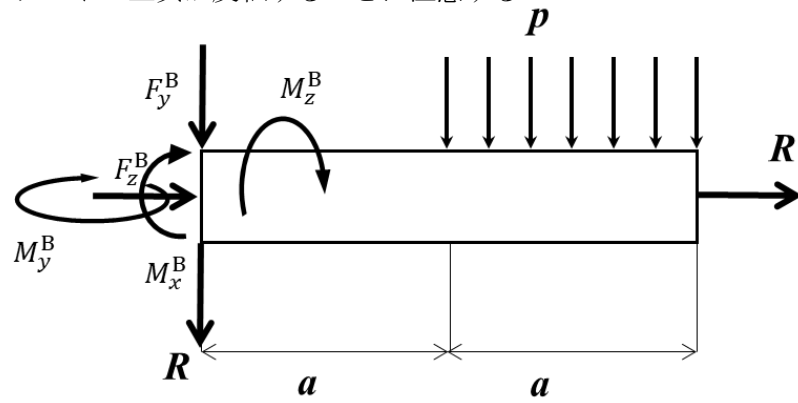


Fig3.4 部材③のFBD

$x_B$  軸方向の外力は 0 なので、断面 B に作用する断面力  $F_x^B$  は

$$F_x^B = 0 \quad (2.13)$$

また、 $y_B, z_B$  軸方向の力のつり合いより、断面力  $F_y^B, F_z^B$  は

$$\begin{aligned} F_y^B + pa + R &= 0 \\ F_y^B &= -pa - R \\ F_z^B &= -R \end{aligned} \quad (2.14)$$

$x_B, y_B, z_B$  軸回りのモーメントのつり合いより、断面 B に作用するモーメントは

$$\begin{aligned} M_x^B &= -\int_a^{2a} pxdx = -\frac{3}{2}pa^2 \\ M_y^B &= Rb \\ M_z^B &= -pab - R \times b \\ &= -pab - Rb \end{aligned} \quad (2.15)$$

よって図 3 の断面 B に作用する断面力とモーメントは

$$\begin{aligned} (F_x^B, F_y^B, F_z^B) &= (0, -pa - R, -R) \\ (M_x^B, M_y^B, M_z^B) &= \left( -\frac{3}{2}pa^2, Rb, -pab - Rb \right) \end{aligned} \quad (2.16)$$

となる。